



УДК 531.383

## ОПТИМИЗАЦИЯ ЭЙЛЕРОВА РАЗВОРОТА НЕЛИНЕЙНОГО УПРУГОГО ОБЪЕКТА

ЗАКРЖЕВСКИЙ А. Е.

Одним из видов программных движений свободного твердого тела, представляющих интерес для технических приложений, является режим переориентации его в инерциальном пространстве. Как для абсолютно жесткого, так и для упругого тела этот режим может быть осуществлен либо тремя последовательными поворотами на определенные углы вокруг осей, жестко связанных с недеформированным телом, либо одним поворотом вокруг оси эквивалентного вращения (оси Эйлера), неподвижной в инерциальном пространстве и связанной с телом.

В публикуемой работе представлено решение задачи оптимизации управления эйлеровым разворотом нелинейного упругого объекта исходя из требования снижения помех ориентации и динамических перегрузок, действующих на упругие элементы:

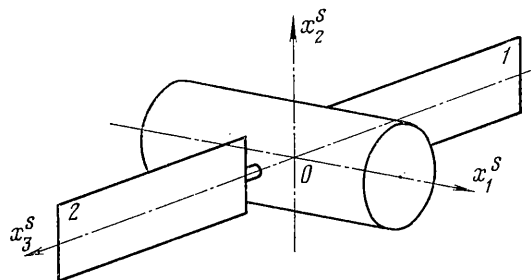
1. Рассмотрим свободное тело (фиг. 1), которое состоит из жесткой несущей части и присоединенных к ней двух симметрично расположенных упругих элементов 1 и 2. Предположим наличие на несущей части датчиков углов ориентации и угловых скоростей, блока обработки информации, способного формировать законы управления в соответствии с заданными алгоритмами, а также исполнительных органов системы управления, в качестве которых примем три одностепенных гироскопа, оси вращения которых направлены вдоль главных осей инерции недеформированного объекта  $Ox_1^s x_2^s x_3^s$ .

Введем неподвижные в инерциальном пространстве системы координат  $Ox_1^0 x_2^0 x_3^0$  и  $Ox_1^f x_2^f x_3^f$ , совпадающие с  $Ox_1^s x_2^s x_3^s$  соответственно в начале и в конце разворота. Введем также систему осей  $O\xi_1 \xi_2 \xi_3$ , связанную с несущим телом и совпадающую в начале разворота с осями  $O\xi_1^0 \xi_2^0 \xi_3^0$ , такую, что оси  $O\xi_1$  и  $O\xi_1^0$  совпадают с осью Эйлера. Введенным системам координат поставим в соответствие системы ортов. Осям  $Ox_k^s$  соответствуют орты  $\mathbf{i}_k$ ,  $Ox_k^0 - \mathbf{i}_k^0$ ,  $O\xi_k - \mathbf{e}_k$ ,  $O\xi_k^0 - \mathbf{e}_k^0$ ,  $Ox_k^f - \mathbf{i}_k^f$  ( $k=1, 2, 3$ ). Переход из одной системы координат в другую определим в виде

$$\mathbf{i}_k = \sum_{j=1}^3 c_{kj} \mathbf{i}_j^0, \quad \mathbf{e}_k^0 = \sum_{m=1}^3 \gamma_{km} \mathbf{i}_m^0, \quad \mathbf{e}_k = \sum_{m=1}^3 \gamma_{km} \mathbf{i}_m = \sum_{m=1}^3 b_{km} \mathbf{e}_m^0, \quad \mathbf{i}_k^f = \sum_{m=1}^3 a_{hm} \mathbf{i}_m^0$$

Матрицу  $\|a\|$  считаем заданной. Это позволяет в соответствии с теорией линейных ортогональных преобразований определить величину угла конечного поворота  $\Phi$  вокруг оси  $O\xi_1$  и направляющие косинусы  $\gamma_{ii}$  оси  $O\xi_1$  в осях  $Ox_i^0$  ( $i=1, 2, 3$ ). Остальные компоненты матрицы  $\|\gamma\|$  можно выбрать произвольно, исходя из условия, что  $\mathbf{e}_i$  ( $i=1, 2, 3$ ) образуют правую тройку взаимно ортогональных векторов. Матрица  $\|b\|$  имеет вид

$$\|b\| = \begin{pmatrix} 1 & 0 & 0 \\ 0 & \cos \varphi & \sin \varphi \\ 0 & -\sin \varphi & \cos \varphi \end{pmatrix}$$



Фиг. 4

где  $\varphi(t)$  — угол поворота базиса  $O\xi_h$  вокруг оси  $O\xi_1$ . В результате

$$c_{kl} = \sum_{p=1}^3 \sum_{q=1}^3 \gamma_{pk} b_{pq} \gamma_{ql} \quad (h, l = 1, 2, 3) \quad (1.1)$$

т. е. направляющие косинусы связанный системы осей могут быть определены по (1.1) как функции угла  $\varphi(t)$ . Вектор угловой скорости несущего тела совпадает с осью  $O\xi_1$ , т. е.

$$\omega_i = \varphi'(t) \gamma_{ii} \quad (i=1, 2, 3) \quad (1.2)$$

Для описания движения упругих элементов воспользуемся дискретной конечно-мерной моделью. Вопросы, связанные с построением таких моделей для континуальных систем, широко освещены в литературе. Обоснованное усечение получающихся при этом бесконечных систем обыкновенных дифференциальных уравнений применительно к исследуемому объекту рассмотрено, в частности, в [1]. Не останавливаясь здесь на подробностях перехода к указанной модели, выберем ее достаточно простой для математического описания и в то же время позволяющей продемонстрировать возможности оптимизации управления пространственным разворотом как активной защиты несомых упругих элементов от динамических перегрузок.

В соответствии с этим предположим, что вращение достаточно медленное для выполнения условия  $\Omega_1^2 > \omega_2^2 + \omega_3^2$  и вектор смещения точек упругого элемента может быть представлен в виде

$$\mathbf{w} = \sum_{\alpha=1}^N q_\alpha(t) \mathbf{U}^\alpha(x_3^s)$$

Здесь  $q_\alpha(t)$  можно рассматривать как обобщенные координаты,  $\mathbf{U}^\alpha(x_3^s) = \varphi_\alpha(x_3^s) \mathbf{i}_1$ ,  $\varphi_\alpha(x_3^s)$  — собственные функции упругой консоли как парциальной системы.

Предположим геометрию упругомассовых характеристик объекта такой, что при движении его относительно центра масс векторы перемещений точек упругих элементов, симметричных относительно полюса  $O$ , равны по модулю и противоположно направлены, т. е. картина деформаций осесимметрична относительно  $Ox_2^s$ . При этом мгновенное положение центра масс всей системы совпадает с полюсом  $O$ .

Уравнения движения упругих элементов объекта можно записать в виде

$$y_\alpha'' + 2n_\alpha y_\alpha' + (\Omega_\alpha^2 - \omega_2^2 - \omega_3^2) y_\alpha = 2R_\alpha (\omega_2 \dot{\omega}_1 + \omega_1 \omega_3) \quad (1.3)$$

$$R_\alpha = \int_m U^\alpha \cdot \rho dm / \int_m U^\alpha \cdot U^\alpha dm \quad (i=1, 2, 3)$$

## Уравнения движения гироскопов системы управления

$$H_i = -I_i \omega_i - \tau_i H_i + U_i^0 \quad (i=1, 2, 3) \quad (1.4)$$

Здесь  $y_\alpha = -q_{\alpha 1} + q_{\alpha 2}$  — обобщенные координаты, соответствующие осесимметричным перемещениям упругих элементов 1 и 2 (см. фиг. 1),  $n_\alpha$  — обобщенный коэффициент демпфирования,  $\Omega_\alpha$  — парциальная частота, соответствующая свободным колебаниям упругих элементов при неподвижном несущем теле,  $H_i$ ,  $I_i$ ,  $\tau_i$ ,  $U_i^0$  — соответственно кинетический момент, момент инерции относительно оси вращения, коэффициент трения и управляющий момент  $i$ -го гироскопа.

Остальные дифференциальные уравнения, определяющие динамику объекта, можно опустить, так как положение несущего тела полностью определяется законом  $\varphi(t)$  и тремя направляющими косинусами оси  $O\xi_1$  в осях  $Ox_1^0 x_2^0 x_3^0$ .

2. Рассмотрим следующую задачу оптимального управления: найти закон управления разворотом описанного объекта вокруг эйлеровой оси на заданный угол  $\Phi$ , при котором выполняются краевые условия для фазовых переменных и в процессе разворота минимизируются динамические перегрузки упругих элементов.

Представим вектор упругих перемещений в виде

$$\mathbf{w} = \sum_{\alpha=1}^N y_\alpha(t) \mathbf{W}_\alpha(x_3^s)$$

Здесь  $N$  — число форм упругих колебаний, учитываемых в математической модели объекта,  $\mathbf{W}_\alpha = -\mathbf{U}^\alpha$  в области, занимаемой элементом 1 и  $\mathbf{W}_\alpha = \mathbf{U}^\alpha$  для элемента 2. Тогда для минимизации указанных динамических перегрузок критерий качества управления может быть выбран в виде

$$J = \frac{1}{2} \int_0^T \int_m (\mathbf{w}^*)^2 dm dt = \frac{1}{2} \int_0^T \int_m \left( \sum_{\alpha=1}^N y_\alpha^* \mathbf{W}_\alpha \right)^2 dm dt$$

В предположении взаимной ортогональности  $\mathbf{W}_\alpha$  и  $\mathbf{W}_\beta$  при  $\alpha \neq \beta$ :

$$J = \frac{1}{2} \int_0^T \sum_{\alpha=1}^N (y_\alpha^*)^2 \int \mathbf{W}_\alpha^2 dm dt = \frac{1}{2} \int_0^T \sum_{\alpha=1}^N (y_\alpha^*)^2 W_{\alpha\alpha} dt \quad (2.1)$$

В качестве связей, налагаемых на фазовые переменные  $y_\alpha$ , выступают уравнения движения (1.3), которые с учетом (1.2) представим следующим образом:

$$\begin{aligned} y_\alpha'' + 2n_\alpha y_\alpha' + [\Omega_\alpha^2 - (\varphi^*)^2 (\gamma_{12}^2 + \gamma_{13}^2)] y_\alpha = \\ = 2R_\alpha [\varphi'' \gamma_{12} + (\varphi^*)^2 \gamma_{11} \gamma_{13}] \quad (\alpha=1, \dots, N) \end{aligned} \quad (2.2)$$

Принимая в качестве управления  $u = \varphi''$ , приходим к интегральному ограничению

$$\int_0^T \int_0^t u(\tau) d\tau dt = \Phi$$

Введем новые переменные

$$z_1 = \int_0^t \int u(\tau) d\tau dt, \quad z_2 = \int_0^t u(\tau) d\tau, \quad z_{2k+1} = y_k, \quad z_{2k+2} = y_k' \quad (k=1, \dots, N)$$

и обозначения  $a_k = 2R_k \gamma_{12}$ ,  $b_k = 2R_k \gamma_{11} \gamma_{13}$ ,  $d = \gamma_{12}^2 + \gamma_{13}^2$ . Для случая разворота объекта из одного неподвижного состояния в другое приходим к следую-

щей вариационной задаче с закрепленными границами:

$$\begin{aligned} z_1 &= z_2, \quad z_2 = u, \quad z_{2k+1} = z_{2k+2}, \quad z_{2k+2} = -2n_k z_{2k+2} - \\ &\quad -\Omega_k^2 z_{2k+1} + b_k z_2^2 + d z_2^2 z_{2k+1} + a_k u \quad (k=1, \dots, N) \end{aligned} \quad (2.3)$$

$$J = \frac{1}{2} \int_0^T \sum_{k=1}^N (-2n_k z_{2k+2} - \Omega_k^2 z_{2k+1} + b_k z_2^2 + d z_2^2 z_{2k+1} + a_k u)^2 W_{kk} dt \quad (2.4)$$

$$z_i(0) = 0 \quad (i=1, \dots, 2N+2), \quad z_1(T) = \Phi, \quad z_j(T) = 0 \quad (j=2, \dots, 2N+2) \quad (2.5)$$

В зависимости от значений  $\gamma_{11}$ ,  $\gamma_{12}$ ,  $\gamma_{13}$  можно выделить следующие два частных случая этой задачи:

1.  $\gamma_{12} = \gamma_{13} = 0$  или  $\gamma_{11} = \gamma_{12} = 0$ . Ось Эйлера при этом совпадает с  $Ox_1$  или с  $Ox_3$ . Уравнение (2.2) становится однородным и рассмотрение задачи в указанной постановке теряет смысл.

2.  $\gamma_{12} = 0$ ,  $\gamma_{11} \neq 0$ ,  $\gamma_{13} \neq 0$ . Ось Эйлера при этом лежит в плоскости  $Ox_1 x_2$ , не совпадая ни с одной из главных осей. Такая задача требует отдельного рассмотрения. Для упрощения ее решения целесообразно изменить функционал (2.4), чтобы он оставался квадратичным относительно  $u$ .

В дальнейшем будем считать  $\gamma_{12} \neq 0$ .

Вопросы управляемости и наблюдаемости рассматриваемого объекта детально исследованы в работе [1], поэтому здесь на них останавливаться не будем.

3. Используя принцип максимума [2], приведем поставленную задачу оптимального управления к двухточечной краевой задаче для нелинейной системы  $4(N+1)$  уравнений первого порядка

$$\begin{aligned} x_1 &= x_2, \quad x_2 = u(x), \quad x_{2k+1} = x_{2k+2}, \quad x_{2k+2} = G1_k(x) + a_k u(x) \\ x_{M+1} &= 0, \quad x_{M+2} = -x_{M+1} - \sum_{i=1}^N G2(x) [x_{M+2+i} + G1_i(x) + a_i u(x)] W_{ii} \\ x_{M+3+2k} &= -G3(x) [x_{M+3+2k} + G1_k(x) + a_k u(x)] W_{kk} \\ x_{M+4+2k} &= -x_{M+3+2k} \quad (k=1, \dots, N) \quad M=2N+2 \quad (3.1) \\ G1_k(x) &= -\Omega_k^2 x_{2k+1} - 2n_k x_{2k+2} + b_k x_2^2 + d x_2^2 x_{2k+1} \\ G2_k(x) &= 2(b_k x_2 + d x_2 x_{2k+1}), \quad G3(x) = -\Omega_k^2 + d x_2^2 \\ u(x) &= \left( \sum_{i=1}^N a_{ii} W_{ii} \right)^{-1} \left\{ x_{M+2} + \sum_{i=1}^N [x_{M+2+i} + G1_i(x) W_{ii}] \right\} \end{aligned}$$

Краевые условия задачи

$$x_i(0) = 0 \quad (i=1, \dots, M), \quad x_1(T) = \Phi, \quad x_j(T) = 0 \quad (j=2, \dots, M) \quad (3.2)$$

Точное аналитическое решение этой краевой задачи может быть построено лишь при  $N=1$ ,  $n_1=b_1=d=0$ . В этом случае система (3.1) сводится к одному дифференциальному уравнению восьмого порядка  $x^{(VIII)}=0$ , решение которого  $x_1(t)=\sum C_i t^{(i-1)}$  ( $i=1, 2, 3 \dots 8$ ). Краевые условия (3.2) принимают вид

$$x_1(0) = 0, \quad x_1'(0) = 0, \quad x_1''(0) + x_1^{(IV)} F + x_1^{(VI)}(0) D = 0$$

$$x_1'''(0) + x_1^{(V)}(0) F + x_1^{(VII)}(0) D = 0, \quad x_1(T) = \Phi, \quad x_1'(T) = 0$$

$$x_1''(T) + x_1^{(IV)} F + x_1^{(VI)}(T) D = 0, \quad x_1'''(T) + x_1^{(V)}(T) F + x_1^{(VII)}(T) D = 0$$

$$F = \Omega^{-2}, \quad D = \Omega^{-4}, \quad x_1^{(h)} = d^h x_1 / dt^h$$

В общем случае решение краевой задачи (3.1), (3.2) может быть получено только численно. Одним из наиболее подходящих для решения данной задачи методов представляется метод последовательной линеаризации [3]. Метод заключается в сведении нелинейной краевой задачи к последовательности линейных краевых задач, методы решения которых разработаны достаточно подробно. Здесь применен метод переходной матрицы [4], основанный на построении матрицы фундаментальных решений.

Представим (3.1) в виде

$$x_s = \varphi_s(x) \quad (s=1, \dots, 2M) \quad (3.3)$$

В качестве начального приближения  $x^0(t)$  зададим решение краевой задачи, полученной из (3.1) отбрасыванием нелинейных членов. Линеаризованные уравнения для всех последующих приближений могут быть получены разложением правых частей (3.3) в ряд Тейлора в окрестностях решения, полученного из предыдущего приближения с удержанием членов до линейных включительно. Рекуррентные соотношения для соответствующих уравнений

$$\begin{aligned} x_s^{(n)} &= \sum_{p=1}^{2M} g_{sp}^{(n-1)} (x_p^{(n)} - x_p^{(n-1)}) + \varphi_s(x^{(n-1)}) \quad (s=1, \dots, 2M) \\ g_{sp}^{(n-1)} &= \partial \varphi_s / \partial x_p |_{x=x^{(n-1)}} \end{aligned} \quad (3.4)$$

В результате системы уравнений для всех приближений, кроме начального, превращаются в неоднородные с переменными коэффициентами. Краевые условия (3.2) в силу их линейности сохраняются во всех итерациях.

При решении линейных неоднородных краевых задач методом переходной матрицы целесообразно искать  $x^{(n)}(t)$  в виде суммы решения задачи Коши для неоднородной системы

$$z_s^{(n)} = \sum_{p=1}^{2M} g_{sp}^{(n-1)} z_p^{(n)} + L_s^{(n-1)}(t); \quad z_s^{(n)}(0) = 0, \quad (s=1, \dots, 2M)$$

и решения краевой задачи для однородной системы

$$\begin{aligned} y_s^{(n)} &= \sum_{p=1}^{2M} g_{sp}^{(n-1)} y_p^{(n)}, \quad y_i^{(n)}(0) = 0; \\ y_i^{(n)}(T) &= x_i^{(n)}(T) - z_i^{(n)}(T) \quad (s=1, \dots, 2M; i=1, \dots, M) \end{aligned}$$

4. В результате решения поставленной задачи оптимального управления определяется программное движение несущего тела, состоящее во вращении его вокруг эйлеровой оси по закону  $\varphi(t)$ . Для формирования программных управляющих моментов  $U_i^0$  ( $i=1, 2, 3$ ) воспользуемся теоремой об изменении кинетического момента системы. При  $t=t_0$  начальный кинетический момент имеет вид

$$\mathbf{K}_0 = \sum_{h=1}^3 H_{h0} \mathbf{i}_h = \sum_{j=1}^3 \sum_{h=1}^3 H_{h0} c_{hj} \mathbf{i}_j$$

В процессе разворота

$$\mathbf{K}^0 = \sum_{j=1}^3 (H_j + L_j) \mathbf{i}_j, \quad L_1 = C_1 \omega_1 + \sum_{\alpha=1}^N R_\alpha m_\alpha y_\alpha \omega_3$$

$$L_2 = C_2 \omega_2 - \sum_{\alpha=1}^N R_\alpha m_\alpha y_\alpha + \sum_{\alpha=1}^N \frac{m_\alpha}{2} y_\alpha^2 \omega_2$$

$$L_3 = C_3 \omega_3 + \sum_{\alpha=1}^N R_\alpha m_\alpha y_\alpha \omega_1 + \sum_{\alpha=1}^N \frac{m_\alpha}{2} y_\alpha^2 \omega_3$$

$m_h$  — приведенная масса для  $k$ -й формы колебаний,  $C_i$  — главные центральные моменты инерции недеформированного объекта.

В силу предположения об отсутствии внешних моментов  $\mathbf{K}^0 = \mathbf{K}_0^0$ . Отсюда

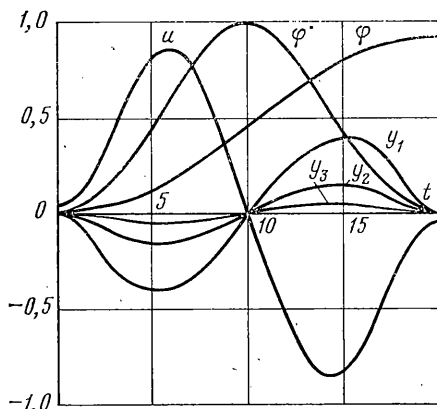
$$H_j = \sum_{k=1}^3 H_{k0} c_{kj} + L_j, \quad H_j = \sum_{k=1}^3 \sum_{p=1}^3 \sum_{q=1}^3 H_{k0} \gamma_{pq} b_{pq} \dot{\gamma}_{qi} + L_j \quad (4.1)$$

$$U_j^0 = \sum_{k=1}^3 H_{k0} \sum_{p=1}^3 \sum_{q=1}^3 \gamma_{pq} (b_{pq} + \tau_k b_{pq}) \gamma_{qj} + L_j + \tau_j L_j + I_j \gamma_{1j} \varphi(t) \quad (j=1,2,3)$$

Поскольку неизвестными заранее в этих выражениях могут оказаться только  $H_{k0}$ , количество математических операций, необходимых для формирования  $U_j^0$ , невелико.

Для стабилизации построенного оптимального программного движения к управляющим моментам (4.1) следует добавлять стабилизирующие.

Задача нахождения их представляет самостоятельный интерес и здесь не исследуется.



Фиг. 2

щенных координат упругих перемещений и для  $\alpha > N$ . Изменение управляющей переменной (кривая 4) носит плавный характер и определяется наличием участков разгона и торможения. Угловая скорость вращения вокруг оси Эйлера  $\varphi$  (кривая 5) также меняется плавно и достигает максимума в средине интервала. Угол поворота  $\varphi$  (кривая 6) возрастает монотонно. На фиг. 2 единице по оси ординат соответствует: для  $\varphi$  — рад,  $\dot{\varphi}$  — 0,1 рад  $s^{-1}$ ,  $u$  — 0,02 рад  $s^{-2}$ ,  $y_\alpha$  — 0,01 м.

Сравнение погрешностей удовлетворения краевых условий задачи при  $N=2$  для первого и второго приближений приведено ниже

	$\varphi(T)$ , рад	$\dot{\varphi}(T)$ , рад $s^{-1}$	$y_1(T)$ , м	$y_1'(T)$ , $m s^{-1}$	$y_2(T)$ , м	$y_2'(T)$ , $m s^{-1}$	$J$ , $m^2 s^{-1}$
1	$1,05 \cdot 10^{-10}$	$3,36 \cdot 10^{-11}$	$4,63 \cdot 10^{-8}$	$2,03 \cdot 10^{-8}$	$9,01 \cdot 10^{-10}$	$1,94 \cdot 10^{-8}$	$2,671 \cdot 10^{-5}$
2	$3,09 \cdot 10^{-12}$	$1,74 \cdot 10^{-11}$	$2,93 \cdot 10^{-12}$	$3,74 \cdot 10^{-11}$	$7,46 \cdot 10^{-12}$	$1,08 \cdot 10^{-11}$	$2,662 \cdot 10^{-5}$

Эти данные наглядно показывают быструю сходимость примененного метода решения нелинейной краевой задачи как с точки зрения выполнения краевых условий, так и обеспечения стационарного значения функционала.

Автор благодарит Р. Ф. Ганиева и Ф. Л. Черноусько за полезные советы, полученные в процессе обсуждения постановки и методов решения задачи.

#### ЛИТЕРАТУРА

1. *Likins P., Ohkami Y., Wong Ch.* Appendage modal coordinate truncation criteria in hybrid coordinate dynamic analysis.— *J. Spacecraft and Rockets*, 1976, v. 13, No. 10, p. 611–617.
2. Понtryagin L. S., Boltyanskiy V. G., Gamkrelidze R. B., Miščenko E. F. Matematicheskaya teoriya optimal'nykh processov. M.: Fizmatgiz, 1961. 391 c.
3. Moiseev N. N. Численные методы в теории оптимальных систем. M.: Nauka, 1971. 424 c.
4. Brajson A., Ho Ю-ши. Primeneniye optimal'nogo upravleniya. M.: Mir, 1972. 544 c.

Киев

Поступила в редакцию  
14.VII.1980